ТЕХНОЛОГИЧЕСКИЕ ОСНОВЫ ПОЛУЧЕНИЯ МЕХАНИЧЕСКИ СТАБИЛЬНЫХ ОДНОМОДОВЫХ МИКРОСТРУКТУРИРОВАННЫХ СВЕТОВОДОВ С ПРЕДЕЛЬНО НИЗКИМ ЗАТУХАНИЕМ СИГНАЛА

Ю.А. Гатчин 1 , В.В. Демидов 2* , К.В. Дукельский 1,3 , П.А. Злобин 2 , А.С. Матросова 2

Информация о статье

УДК 681.7.068, 535.3 Язык статьи – русский

Ссылка для цитирования: Гатчин Ю.А., Демидов В.В., Дукельский К.В., Злобин П.А., Матросова А.С. Технологические основы получения механически стабильных одномодовых микроструктурированных световодов с предельно низким затуханием сигнала // Труды учебных заведений связи. 2017. Т. 3. № 4. С. 29–35.

Аннотация: Исследовано влияние двух технологических подходов к получению из поликапиллярной сборки кварцевого одномодового микроструктурированного световода с сердцевиной диаметром 35 мкм, предназначенного для работы в условиях многократного изгиба, на величину потерь направляемого по нему излучения и механическую прочность. Установлено, что для достижения наилучших показателей указанных характеристик предпочтительно использовать одностадийный процесс («сборка – волокно») взамен более распространенного двухстадийного («сборка – прототип – волокно»). При этом затухание сигнала составляет 2-3 дБ/км на длине волны λ = 1550 нм, а прочность на растяжение – около 5,5 ГПа, что сопоставимо с аналогичными параметрами одномодовых световодов специального применения, выполненных из сплошных оптических сред.

Ключевые слова: микроструктурированный световод, большая сердцевина, одномодовый режим, затухание излучения, механическая прочность.

Введение

Разработка и исследование микроструктурированных световодов из кварцевого стекла, обладающих набором преимущественных эксплуатационных возможностей относительно оптических волокон на основе сплошных сред, продолжает оставаться востребованным направлением прикладной науки. В числе таких возможностей передача мощных (лазерных) световых потоков с минимальными нелинейными искажениями и дифракционной расходимостью излучения, что достигается за счет увеличения размеров сердцевины одномодового световода до нескольких десятков микрометров [1-8]. Однако в силу технологических особенностей подобные оптические элементы часто характеризуются сравнительно высокими значениями затухания сигнала, на уровне десятков и даже сотен дБ/км в ближней инфракрасной области спектра [9-15]. Указанное обстоятельство приводит к значительному падению мощности распространяющегося излучения на выходе световода и вынуждает работать с чрезмерно короткими объектами (длиной несколько метров) для компенсации данного эффекта. По этой причине одной из основных задач, решаемых при создании структур с большой сердцевиной, становится минимизация затухания, обусловленного технологическими факторами, до значений, гарантирующих практическую целесообразность доставки излучения с незначительными потерями мощности на расстояния в пределах нескольких десятков или сотен метров.

С другой стороны, не менее важной проблемой является прогнозирование и обеспечение высоких показателей механической прочности и долговечности микроструктурированных световодов, пре-

¹Санкт-Петербургский национальный исследовательский университет информационных технологий, механики и оптики, Санкт-Петербург, 197101, Российская Федерация

²Научно-исследовательский и технологический институт оптического материаловедения Всероссийского научного центра «Государственный оптический институт им. С.И. Вавилова»,

Санкт-Петербург, 192171, Российская Федерация

³Санкт-Петербургский государственный университет телекоммуникаций им. проф. М.А. Бонч-Бруевича,

Санкт-Петербург, 193232, Российская Федерация

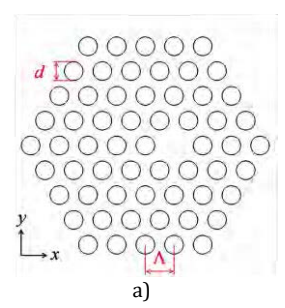
^{*}Адрес для переписки: demidov@goi.ru

пятствующих их разрушению при работе в условиях долговременной эксплуатационной нагрузки, в частности, многократного изгиба. Задача осложняется тем фактом, что в имеющейся научной литературе отсутствует однозначная оценка механических свойств обсуждаемых волокон. Результаты немногочисленных экспериментальных исследований [16-19] свидетельствуют о тенденции к снижению прочностных характеристик кварцевых световодов при интеграции пустот в оболочке ввиду увеличения числа поверхностей, которые могут стать носителями дополнительных дефектов, особенно в присутствии паров воды. Математические модели [20, 21], напротив, указывают на возможность увеличения механической прочности микроструктурированных световодов вследствие предотвращения роста трещин с наружной поверхности вглубь оболочки как раз из-за наличия пустот на пути распространения трещин.

Ранее [22, 23] нами были отмечены принципиальные различия в спектральных характеристиках затухания и вейбулловских распределениях прочности на растяжение для микроструктурированных световодов с сердцевиной диаметром 20 мкм, изготовленных по стандартной методике «stackand-draw» [24], но с использованием различных технологических подходов. Эти закономерности стимулировали постановку и проведение серии экспериментов по изучению влияния этих подходов на величину потерь излучения и прочностные свойства при переходе к структурам с сердцевиной большего размера.

Объект исследования

В качестве объекта исследований был выбран микроструктурированный световод с четырьмя циклами пустот и сердцевиной диаметром 35 мкм, смещенной на шаг структуры относительно центра световода (рисунок 1).



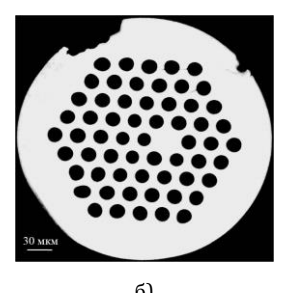


Рис. 1. Изображения расчетной (a) и экспериментально полученной (б) поперечных структур световода

Такое расположение сердцевины имеет положительным следствием увеличение доли пустот в оболочке d/Λ (d – диаметр отверстия, Λ – шаг гексагональной структуры) до 0,65, что, в свою очередь, способствует снижению потерь излучения, обусловленных возмущениями и искажениями геометрии световода [25-27]. Одномодовый режим работы в подобном оптическом элементе достига-

ется за счет различия в интенсивности вытекания на изгибе излучения фундаментальной и наиболее конкурентной первой высшей моды, о чем наглядно свидетельствуют данные таблицы.

ТАБЛИЦА. Численная оценка изгибных потерь фундаментальной (LP $_{01}$) и первой высшей (LP $_{11}$) мод световода на длине волны λ = 1550 нм

Радиус изгиба, см	Ориентация плоскости изгиба	Потери моды LP ₀₁ , дБ/км	Потери моды LP ₁₁ , дБ/км
16	Вдоль оси X	2,90×10 ⁻⁵	1,72×10°
	Вдоль оси Ү	2,32×10 ⁻⁹	1,84×10 ⁻¹
12	Вдоль оси X	2,30×10 ⁻⁴	4,41×10 ¹
	Вдоль оси Ү	1,02×10 ⁻⁷	4,40×10 ⁴
8	Вдоль оси X	1,37×10 ⁻²	1,48×10 ⁴
	Вдоль оси Ү	2,36×10 ⁻²	1,40×10 ¹²

В частности, уменьшение эксплуатационного радиуса намотки с 16 до 8 см позволяет добиться необходимого коэффициента затухания высшей моды даже в отсутствии фазовой отсечки последней, регламентируемой, как известно, неравенством $d/\Lambda < 0.45$ [28], и фактически независимо от ориентации плоскости изгиба волокна. При этом расчетное значение потерь фундаментальной моды на вытекание излучения, полученное с помощью метода конечных элементов [29], не превышает 0,03 дБ/км в интересующем диапазоне спектра. Вклад базовых механизмов (примесного поглощения и рэлеевского рассеяния), детерминированный качеством исходных сырьевых материалов для изготовления световода (стержней и труб из синтетического кварцевого стекла), можно оценить величиной не более 0,2 дБ/км на длине волны $\lambda = 1550$ нм. Таким образом, общий уровень затухания излучения в световоде представленной конструкции определяется преимущественно технологическими факторами.

Методика проведения эксперимента

Суть эксперимента заключалась в следующем. На первом этапе выполнялся комплекс операций по вытягиванию кварцевых капилляров и стержней диаметром 1,85 мм, разрезанию их на отрезки одинаковой длины, завариванию торцов капилляров в пламени кислородно-водородной горелки, очистке наружных поверхностей элементов от загрязнений, сборке их в композицию внутри кварцевой трубы с внешним диаметром 21 мм и толщиной стенки 2 мм в соответствии с требуемой геометрической конфигурацией. На втором этапе труба со сборкой помещалась в высокотемпературную печь на вытяжной установке, где из ее расплавленного конца производилось вытягивание прототипа - жесткого элемента диаметром несколько миллиметров со структурой будущего световода в поперечном сечении. После получения отрезка прототипа длиной 1,5 м (этого было достаточно для изготовления световода со стабильной структурой длиной 100 м, учитывая количество стекломассы, которое расходуется при выходе на стационарный режим вытягивания) изготовление прототипа прекращалось, и начиналось вытягивание световода диаметром 300 мкм напрямую из поликапиллярной сборки (далее в тексте - одностадийный процесс). После получения отрезка волокна длиной 100 м осуществлялось перетягивание изготовленного ранее прототипа в микроструктурированный световод, геометрические параметры которого максимально точно воспроизводили соответствующие параметры световода, вытянутого в одну стадию, с контролем внутриполостного давления (двухстадийный процесс). Затем экспериментальные образцы поступали на участок метрологического контроля для измерения коэффициента затухания распространяющегося по ним излучения в ближней инфракрасной области спектра и проведения сравнительных испытаний механической прочности.

Добавим, что в обоих процессах волокна покрывались слоем отверждаемого под действием ультрафиолетового излучения эпоксиакрилата толщиной 100 мкм для защиты их наружной поверхности от повреждений извне.

Исследование затухания излучения

В первом эксперименте капилляры изготавливались из трубы с отношением внутреннего и внешнего диаметров K = 0.80 (труба предварительно проходила процедуру огневой полировки в пламени кислородно-водородной горелки системы MCVD для устранения поверхностных дефектов). Вследствие незначительного коллапсирования трубы в процессе вытягивания указанное отношение в капиллярах составляло 0,75. Оказалось, что получение микроструктурированного световода из сборки элементов с таким К в одностадийном процессе практически исключено: внутренние полости неограниченно раздувались в области образования луковицы под воздействием избыточного давления при любых значениях температуры графитового нагревателя. Причина заключалась в малом, порядка 20 мкм, поперечном размере пустот, достигаемом на расстоянии нескольких сантиметров от горячей зоны. Внутренние полости капилляров фактически не получали сообщения с атмосферой, и падение давления в направлении вытягиваемого волокна отсутствовало.

Проведение процесса по двухстадийной схеме позволило, напротив, без особых сложностей получить световод с параметром $d/\Lambda=0,65$, измеренное значение затухания в котором составило 8 дБ/км на длине волны $\lambda=1550$ нм. В данном случае рост давления в области образования луковицы компенсировался его снижением в направлении вытягиваемого прототипа, поскольку размер его пустот достигал нескольких сотен мкм. Добиться в световоде требуемого значения d/Λ при повторном перетягивании удавалось за счет прокачивания внутри полостей прототипа газа с постоянным давлением.

Величина затухания излучения в волокнах определялась классическим методом «обрыва» в результате сопоставления уровней оптических сигналов, зарегистрированных после прохождения светом длинного (измерительного) и короткого (опорного) отрезков при неизменных условиях возбуждения входного торца световода [30]. Волокна располагались на катушке радиусом 8 см.

Получение одномодового микроструктурированного световода в одну стадию представлялось возможным, по нашему мнению, при уменьшении объема газа внутри капилляров во избежание неконтролируемого раздувания луковицы в горячей зоне. По этой причине во втором эксперименте для производства элементов сборки использовалась частично коллапсированная в пламени кислородно-водородной горелки труба с меньшим, чем в первом случае, финальным отношением внутреннего и внешнего диаметров $K \approx 0.72$ (в капиллярах это отношение составляло 0,68). Выбор температурного режима вытягивания оказался определяющим фактором при изготовлении волокна с заданной геометрией. Максимальное значение температуры нагревателя (2100°C), как и в предыдущем эксперименте, приводило к получению структуры со значением d/Λ , неограниченно приближающимся к 1. Однако последовательное уменьшение температуры имело в конечном итоге положительный эффект. В частности, снижение этого технологического параметра до 1950°C позволило реализовать многомодовую конструкцию световода (d/Λ = 0,80), а дальнейшее снижение до 1900°С – искомую одномодовую ($d/\Lambda = 0.65$) для функционирования в условиях изгиба.

Сравнительный анализ спектральных характеристик затухания излучения в микроструктурированных световодах, вытянутых по разным технологическим схемам, показал различия в возможностях одно- и двухстадийного процессов по достижению минимального ослабления сигнала в ближней инфракрасной области спектра.

Одностадийный вариант оказался выигрышным при получении многомодового световода - потери в нем не превысили 2 дБ/км на длине волны λ = 1550 нм. Для объекта с аналогичными геометрическими параметрами, изготовленного в две стадии, измерение показало большее значение, а именно 5 дБ/км в упомянутой области спектра. Принимая во внимание тот факт, что производство прототипа и волокна в двухстадийном процессе, а также вытягивание световода в одну стадию осуществлялись при одинаковой температуре нагревателя (1950°C), различие в базовом уровне затухания может быть отнесено за счет разной длительности нахождения луковицы в горячей зоне. Действительно, при изготовлении волокна по одностадийной схеме скорость подачи сборки в высокотемпературную печь составляла 1 мм/мин, что на порядок меньше скорости подачи как сборки, так и прототипа в двухстадийном процессе. Данное обстоятельство способствовало более интенсивной тепловой обработке поверхностей капилляров, что, в свою очередь, обуславливало более высокую степень однородности стекломассы в месте их контакта друг с другом и сердцевинным элементом.

Применительно к одномодовой конструкции световода была зафиксирована обратная закономерность: затухание излучения в оптическом элементе, полученном в одностадийном процессе, составило около 20 дБ/км на длине волны $\lambda = 1550$ нм, что приблизительно в 3 раза превысило потери в аналоге, произведенном в две стадии (рисунок 2).

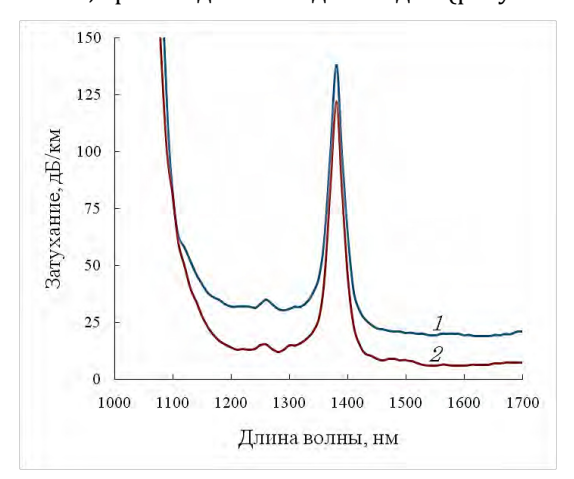


Рис. 2. Спектральные характеристики затухания излучения в микроструктурированных световодах, полученных одностадийным (1) и двухстадийным (2) перетягиванием сборки во втором эксперименте

Снижение температуры вытягивания на 50°С (значение температуры в 1900°С было безальтернативным), вероятно, имело своим следствием менее эффективное выглаживание поверхностей капилляров в сборке, несмотря на, казалось бы, продолжительное время нахождения луковицы в горячей зоне. По этой причине не устраненные в области границы раздела элементов поверхностные дефекты трансформировались в процессе пластической деформации кварцевого стекла в дефекты световода без существенного изменения своей морфологии, выступая в качестве центров рассеяния излучения.

С целью устранения отмеченного недостатка в третьем эксперименте использовались капилляры с параметром $K \approx 0,50$ (в частично коллапсированной трубе это отношение было 0,53), что позволило еще больше сократить объем газа внутри полостей и увеличить тем самым верхний предел температур вытягивания. На этот раз в одностадийном процессе пустоты в оболочке микроструктурированного световода практически отсутствовали $(d/\Lambda \sim 0,10)$ вплоть до температуры 1970°С ввиду преобладания сил поверхностного натяжения над внутриполостным давлением. Искомый оптический элемент $(d/\Lambda = 0,65)$ был получен при

температуре 2000°С, когда вязкость кварцевого стекла оставалась еще достаточно высокой для формирования пустот с правильной (круглой) и стабильной по длине волокна формой. В двухстадийном процессе эти условия обеспечивались при температуре вытягивания 1950°С.

Из сравнения спектральных характеристик затухания (рисунок 3) видно, что потери излучения в одномодовом световоде, изготовленном непосредственно из поликапиллярной сборки, оказались ниже потерь в аналоге, полученном двукратным перетягиванием композиции из капилляров и сердцевинного элемента, приблизительно в два раза.

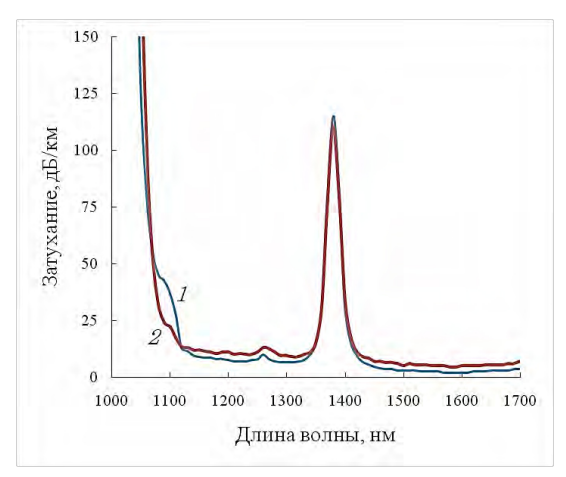


Рис. 3. Спектральные характеристики затухания излучения в микроструктурированных световодах, полученных одностадийным (1) и двухстадийным (2) перетягиванием сборки в третьем эксперименте

Относительно результата предыдущего эксперимента (кривая 1 на рисунке 2) затухание снизилось еще существеннее, а именно, почти на порядок – от 20 до 2,5 дБ/км на длине волны λ = 1550 нм. Причину обоих указанных явлений следует искать в повышении эффективности выглаживания границы раздела капилляров в области формирования луковицы вследствие более интенсивной тепловой обработки (прирост температуры вытягивания составил 100°С) при столь же длительном, как и во втором случае, времени нахождения луковицы в горячей зоне (30 минут).

Заметим, что описанные выше закономерности справедливы для композиций, набранных капиллярами со значением внешнего диаметра около 2 мм.

Исследование механической прочности

Исследование механических свойств микроструктурированных световодов проводилось методом растяжения до разрыва сравнительно коротких (~ 1 м) отрезков со скоростью 200 мм/мин. Указанной длины нагружаемого участка волокна было достаточно для того, чтобы однозначно охарактеризовать прочность образцов, полученных с использованием разных технологических подхо-

дов. Для обеспечения достоверности результатов оценка прочности на растяжение давалась на основе серии испытаний в группе из 20-25 отрезков. Полученный набор данных представлялся в терминах статистики Вейбулла, согласно которой вероятность разрушения образца F регламентируется выражением [31]:

$$F(l,\sigma) = 1 - \exp(-\sigma^{m}l), \tag{1}$$

преобразуемым к виду:

$$\ln\ln\left(\frac{1}{1-F}\right) = m\ln(\sigma) + \ln(l),\tag{2}$$

где σ – величина разрушающего напряжения, l – длина тестируемого образца, m – параметр, определяемый как угол наклона графика к оси абсцисс (чем больше значение m, тем меньше статистический разброс прочности).

В каждой серии испытаний величина σ (в ГПа) вычислялась как отношение приложенной до разрыва силы растяжения отрезка волокна к площади его поперечного сечения ($\sim 70000~\rm mkm^2$). При этом с целью корректной интерпретации механических свойств пустоты исключались из расчета, вследствие чего площадь, занимаемая исключительно кварцевым стеклом, сокращалась до $\sim 57000~\rm mkm^2$.

На рисунке 4 приведены вейбулловские распределения прочности на растяжение для образцов микроструктурированных световодов, полученных двукратным перетягиванием сборки во втором и третьем экспериментах. Как видно из рисунка, средний уровень прочности волокон составил ~ 3,5 ГПа, что в 1,6 раза меньше величины, характерной для оптических элементов со сплошной оболочкой [32]. Это различие было подтверждено результатами испытаний прочности анизотропного одномодового световода диаметром 125 мкм, изготовленного с использованием метода МСVD [33] (кривая 3 на рисунке 4).

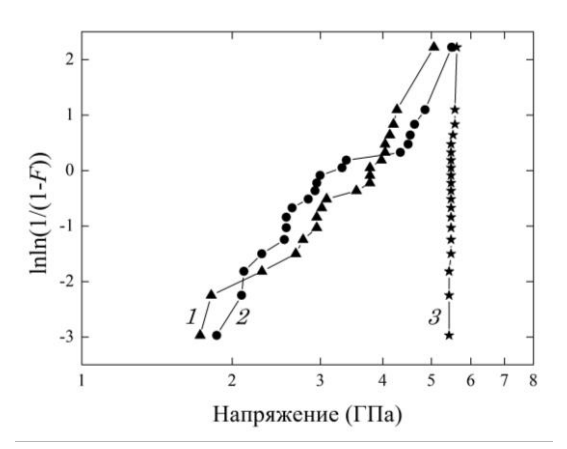


Рис. 4. Вейбулловские распределения прочности на растяжение для микроструктурированных световодов, вытянутых в две стадии во втором (1) и третьем (2) экспериментах, и анизотропного одномодового световода (3)

Тенденция к ухудшению механических свойств микроструктурированных объектов, изготовлен-

ных в две стадии, относительно прочности стандартных световодов в полимерном защитном покрытии имеет, на взгляд авторов, уже упомянутый источник происхождения, а именно, увеличение плотности (речь идет о суммарном количестве и среднем размере) поверхностных дефектов в процессе пластической деформации сначала поликапиллярной композиции в прототип, а затем прототипа в искомый световод, осуществляемой при умеренных температурах нагревателя (1950°C). Вдобавок, как было установлено в независимом эксперименте, достаточно большой поперечный размер пустот в прототипе способствует насыщению их водяными парами в период, предшествующий получению волокна. Последнее обстоятельство нашло отражение в значительном разбросе разрушающих напряжений в статистике Вейбулла (m = 4).

Данные о прочности на растяжение микроструктурированных световодов, изготовленных однократным перетягиванием сборки во втором и третьем экспериментах, проиллюстрированы зависимостями $F(\sigma)$ на рисунке 5.

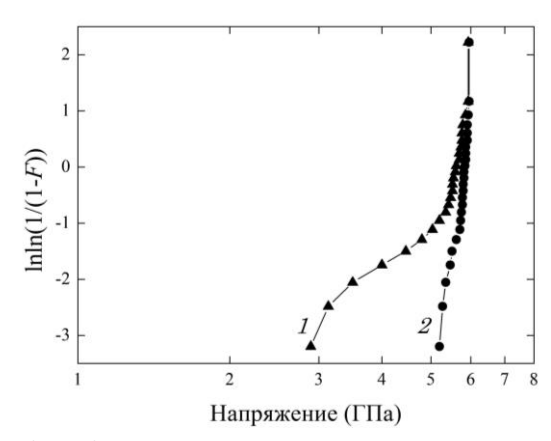


Рис. 5. Вейбулловские распределения прочности на растяжение для микроструктурированных световодов, вытянутых в одну стадию во втором (1) и третьем (2) экспериментах

Из рисунка видно, что статистика разрушения волокон претерпела существенные изменения, в частности, сократился разброс напряжений, особенно в области значений, соответствующих высокопрочному состоянию поверхности (F > 0.5). Объяснение этому феномену может быть дано с позиции уменьшения плотности дефектов после исключения из технологического процесса промежуточной стадии по получению прототипа световода, как раз индуцирующей рост поверхностных дефектов различной природы в условиях высокой вязкости кварцевого стекла. Отсутствие выраженных слабых точек в вейбулловском распределении прочности (m = 30) для образца, полученного в третьем эксперименте (кривая 2 на рисунке 5), свидетельствует, в свою очередь, об однородности дефектов, средний размер которых не превышает величину, достаточную для разрушения волокна с напряжением менее 5,2 ГПа.

Это позволяет сделать вывод о возможности достижения в кварцевых одномодовых микроструктурированных световодах с большой сердцевиной уровня прочности, сопоставимого с таковым в стандартных оптических волокнах, выполненных на основе сплошных сред.

Заключение

В работе проведено исследование влияния двух технологических подходов к получению из поли-капиллярной сборки одномодового микроструктурированного световода с сердцевиной диаметром 35 мкм на основе кварцевого стекла, предна-

значенного для передачи мощных световых потоков в условиях многократного изгиба, на величину потерь распространяющегося по нему излучения и механическую прочность. Показано, что для снижения затухания оптического сигнала до значений 2-3 дБ/км в ближней инфракрасной области спектра и сохранения стандартных для кварцевых волокон показателей прочности на растяжение 5,5 ГПа целесообразно использовать процесс прямого перетягивания сборки в световод. Данный вывод справедлив при формировании композиции капиллярами с внешним диаметром около 2 мм.

Список используемых источников

- 1. Nielsen M.D., Folkenberg J.R., Mortensen N.A. Single-Mode Photonic Crystal Fiber with an Effective Area of $600~\mu m^2$ and Low Bending Loss // Electron. Lett. 2003. Vol. 39. No. 25. PP. 1802–1803.
- 2. Nielsen M.D., Mortensen N.A., Albertsen M., Folkenberg J.R., Bjarklev A., Bonacinni D. Predicting Macrobending Loss for Large-Mode Area Photonic Crystal Fibers // Opt. Express. 2004. Vol. 12. No. 8. PP. 1775–1779.
- 3. Агрузов П.М., Дукельский К.В., Комаров А.В., Тер-Нерсесянц Е.В., Хохлов А.В., Шевандин В.С. Разработка микроструктурированных световодов с большой сердцевиной и исследование их оптических свойств // Оптический журнал. 2010. Т. 77. № 1. С. 77–81.
- 4. Агрузов П.М., Дукельский К.В., Ильичев И.В., Козлов А.С., Шамрай А.В., Шевандин В.С. Исследование волноводных свойств маломодовых микроструктурированных волокон с большой сердцевиной // Квантовая электроника. 2010. Т. 40. № 3. С. 254–258.
- 5. Гатчин Ю.А., Дукельский К.В., Бондаренко И.Б., Садыков А.А., Демидов В.В., Тер-Нерсесянц Е.В. Оптические потери при изгибе одномодового микроструктурированного световода с большой сердцевиной // Научно-технический вестник информационных технологий, механики и оптики. 2015. Т. 15. № 2. С. 246–252.
- 6. Безбородкин П.В., Быков М.В., Демидов В.В., Дукельский К.В. Микроструктурированные оптические волокна для систем передачи и обработки информации // Труды учебных заведений связи. 2016. Т. 2. № 1. С. 23–27.
- 7. Демидов В.В. Одномодовые микроструктурированные световоды с круговым расположением пустот для передачи излучения в режиме ограниченной нелинейности // Оптический журнал. 2017. Т. 84. № 8. С. 3–8.
- 8. Гатчин Ю.А., Демидов В.В., Дукельский К.В., Тер-Нерсесянц Е.В. Квазиодномодовые световоды с увеличенным размером сердцевины на основе микроструктур негексагонального типа // Труды учебных заведений связи. 2017. Т. 3. № 3. С. 37–42.
- 9. Minkovich V.P., Kir'yanov A.V., Sotsky A.B., Sotskaya L.I. Large-Mode-Area Holey Fibers with a Few Air Channels in Cladding: Modeling and Experimental Investigation of the Modal Properties // J. Opt. Soc. Am. B. 2004. Vol. 21. No. 6. PP. 1161–1169.
- 10. Minkovich V.P., Kir'yanov A.V., Calixto Carrera S.A., Sotsky A.B., Sotskaya L.I. Modeling, Fabrication, and Characterization of Large-Mode-Area Photonic Crystal Fibers With Low Bending Loss // Proc. SPIE. 2005. Vol. 5776. PP. 402–408.
- 11. Napierala M., Nasilowski T., Beres-Pawlik E., Berghmans F., Wojcik J., Thienpont H. Extremely Large-Mode-Area Photonic Crystal Fibre with Low Bending Loss // Opt. Express. 2010. Vol. 18. No. 15. PP. 15408–15418.
- 12. Napierala M., Nasilowski T., Beres-Pawlik E., Mergo P., Berghmans F., Thienpont H. Large-Mode-Area Photonic Crystal Fiber with Double Lattice Constant Structure and Low Bending Loss // Opt. Express. 2011. Vol. 19. No. 23. PP. 22628–22636.
- 13. Vaca-Pereira M., Minkovich V.P., Calixto S. Fabrication and Investigation of Large-Mode-Area Photonic Crystal Fibers // Rev. Mex. Fis. 2013. Vol. 59. No. 4. PP. 317–321.
- 14. Демидов В.В., Дукельский К.В., Тер-Нерсесянц Е.В., Шевандин В.С. Микроструктурированные одномодовые световоды на основе явления дифференциального модового затухания // Оптический журнал. 2012. Т. 79. № 1. С. 52–57.
- 15. Демидов В.В., Дукельский К.В., Тер-Нерсесянц Е.В., Шевандин В.С. Исследование одномодового режима работы микроструктурированных световодов с каналами вытекания излучения // Оптический журнал. 2013. Т. 80. № 5. С. 65–70.
- 16. Kobelke J., Gerth K., Kirchhof J., Schuster K., Moerl K., Aichele C. Mechanical and Optical Behavior of Index Guiding Photonic Crystal Fibers (PCF) // Proc. SPIE. 2004. Vol. 5360. PP. 287–298.
- 17. Косолапов А.Ф., Семенов С.Л., Денисов А.Н. Механические свойства микроструктурированных световодов на основе высокочистого кварцевого стекла // Неорганические материалы. 2007. Т. 43. № 3. С. 362–367.
- 18. Sonnenfeld C., Sulejmani S., Geernaert T., Eve S., Gomina M., Makara M., Skorupski K., Mergo P., Berghmans F., Thienpont H. Mechanical Reliability of Microstructured Optical Fibers: A Comparative Study of Tensile and Bending Strength // Proc. SPIE. 2012. Vol. 8426. P. 84260Q.
- 19. Sonnenfeld C., Sulejmani S., Geernaert T., Eve S., Gomina M., Mergo P., Makara M., Skorupski K., Thienpont H., Berghmans F. Mechanical Strength of Microstructured Optical Fibers // J. Lightwave Technol. 2014. Vol. 32. No. 12. PP. 2193–2201.
- 20. Zhou J., Tajima K., Kurokawa K., Nakajima K., Sankawa I. High Tensile Strength Photonic Crystal Fiber // Optical Fiber Communication Conf. (Los Angeles, California, USA). 2004. Vol. WI. P. WI2.

- 21. Chakravarthy S.S., Chiu W.K.S. Strength Prediction of Microstructured Optical Fibers // Proc. SPIE. 2006. Vol. 6193. P. 61930B.
- 22. Дукельский К.В., Комаров А.В., Тер-Нерсесянц Е.В., Хохлов А.В., Шевандин В.С. Снижение затухания излучения в микроструктурированных световодах из поликапиллярной сборки до 2-3 дБ/км // Сб. трудов VIII Международной конференции «Прикладная оптика 2008» (Санкт-Петербург, Россия). 2008. Т. 2. С. 253–256.
- 23. Демидов В.В., Кулеш А.Ю., Пасишник А.С., Тер-Нерсесянц Е.В., Хохлов А.В. Исследование прочностных характеристик кварцевых световодов с микроструктурированной оболочкой в эпоксиакрилатном и металлическом покрытиях // Фотон-Экспресс. 2015. № 6. С. 119–120.
 - 24. Russell P.St.J. Photonic-Crystal Fibers // J. Lightwave Technol. 2006. Vol. 24. No. 12. PP. 4729-4749.
- 25. Демидов В.В., Дукельский К.В., Шевандин В.С. Модовый состав излучения в микроструктурированных световодах со смещенной сердцевиной // Оптический журнал. 2010. Т. 77. № 6. С. 55–60.
- 26. Demidov V.V. Large-Core Microstructured Fibers with Asymmetric Cladding Design for Practical Single-Mode Operation // Proc. SPIE. 2012. Vol. 8426. P. 84261H.
- 27. Demidov V., Ter-Nersesyants E. New Possibilities of Higher-Order Mode Filtering in Large-Mode-Area Photonic Crystal Fibers // Proc. SPIE. 2014. Vol. 9128. P. 91280S.
 - 28. Mortensen N.A. Effective Area of Photonic Crystal Fibers // Opt. Express. 2002. Vol. 10. No. 7. PP. 341-348.
 - 29. URL: https://www.comsol.com
 - 30. Hui R., O'Sullivan M. Fiber Optic Measurement Techniques. Burlington & San Diego (USA): Elsevier, 2009. 672 p.
 - 31. Вейбулл В. Усталостные испытания и анализ их результатов. М.: Машиностроение, 1964. 275 с.
- 32. Kurkjian C.R., Krause J.T., Matthewson M.J. Strength and Fatigue of Silica Optical Fibers // J. Lightwave Technol. 1989. Vol. 7. No. 9. PP. 1360–1370.
- 33. Дукельский К.В., Ероньян М.А., Мешковский И.К., Комаров А.В., Кулеш А.Ю., Ромашова Е.И., Тер-Нерсесянц Е.В. Повышение поляризационной устойчивости анизотропных одномодовых кварцевых световодов с эллиптичной напрягающей оболочкой // Оптический журнал. 2016. Т. 83. № 12. С. 92–94.

* * *

BASIC TECHNOLOGICAL METHODS OF OBTAINING MECHANICALLY STABLE LOW-LOSS SINGLE-MODE MICROSTRUCTURED FIBERS

Y. Gatchin¹, V. Demidov², K. Dukelskii^{1,3}, P. Zlobin², A. Matrosova²

 1 Saint Petersburg National Research University of Information Technologies, Mechanics and Optics,

St. Petersburg, 197101, Russian Federation

²Research and Technological Institute of Optical Materials All-Russia Scientific Center "S.I. Vavilov State Optical Institute",

St. Petersburg, 192171, Russian Federation

³The Bonch-Bruevich Saint-Petersburg State University of Telecommunications,

St. Petersburg, 193232, Russian Federation

Article info

Article in Russian

For citation: Gatchin Y., Demidov V., Dukelskii K., Zlobin P., Matrosova A. Basic Technological Methods of Obtaining Mechanically Stable Low-Loss Single-Mode Microstructured Fibers // Proceedings of Telecommunication Universities. 2017. Vol. 3. Iss. 4. PP. 29–35.

Abstract: The influence of two technological approaches to the fabrication from a capillary stack of silica-based single-mode microstructured fiber with a core of 35 μ m in diameter, intended for operation in conditions of multiple bending, on optical losses and mechanical strength was studied. It has been determined that achievement of the optimal characteristics requires using a single-stage process ("stack – fiber") instead of the more common two-stage process ("stack – cane – fiber"). In that case the attenuation level is 2-3 dB/km at the wavelength λ = 1550 nm and the tensile strength is about 5.5 GPa, which is comparable with the same parameters of specialty single-mode fibers made of solid media.

Keywords: microstructured fiber, large core, single-mode regime, attenuation, mechanical strength.